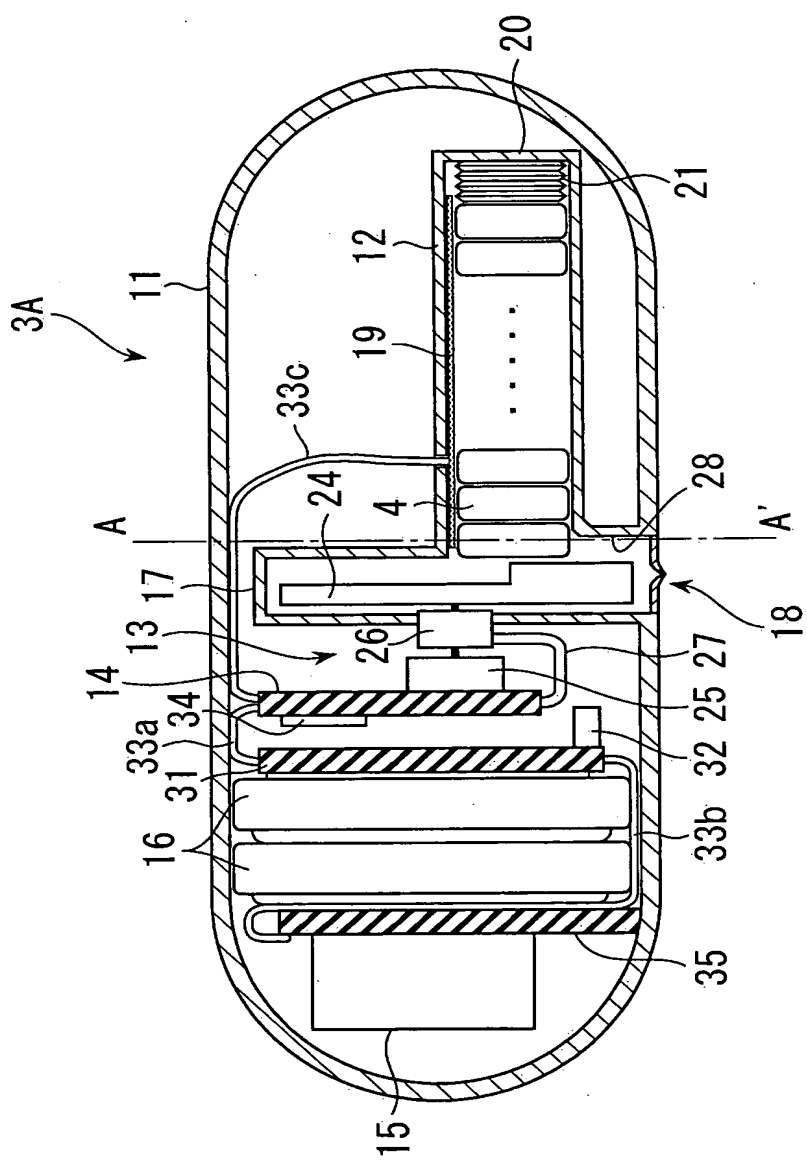


FIG. 1

FIG. 2



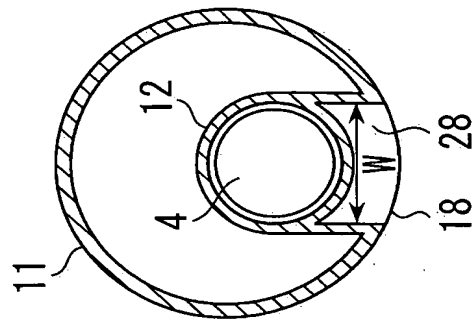
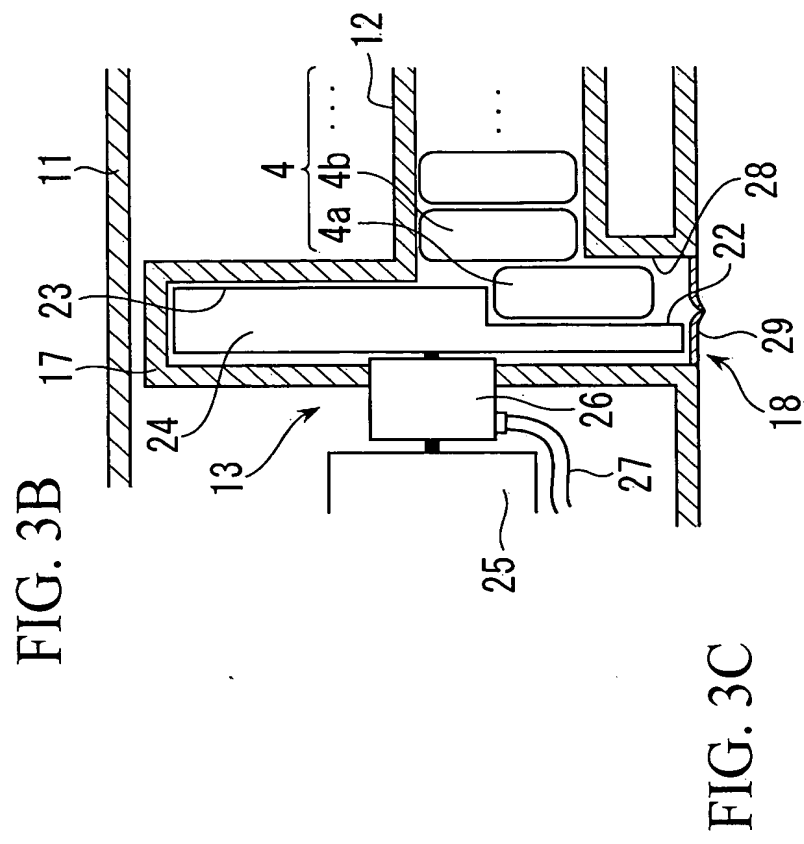
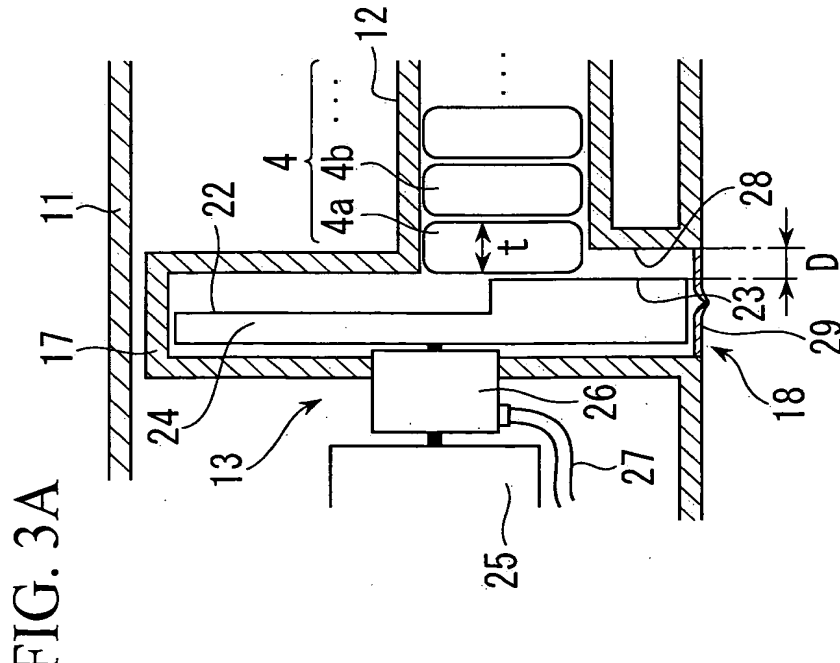


FIG. 4A

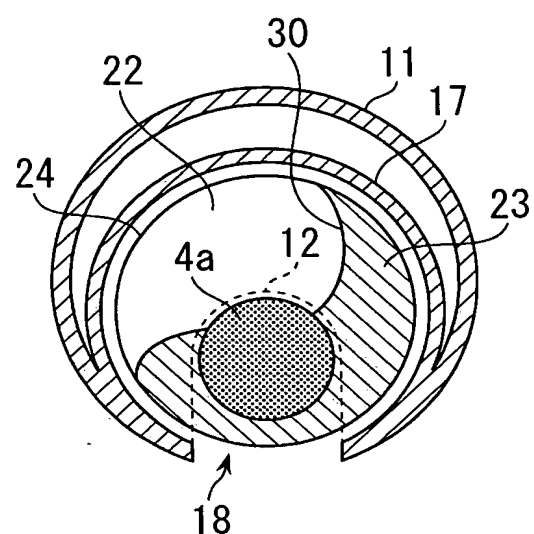


FIG. 4B

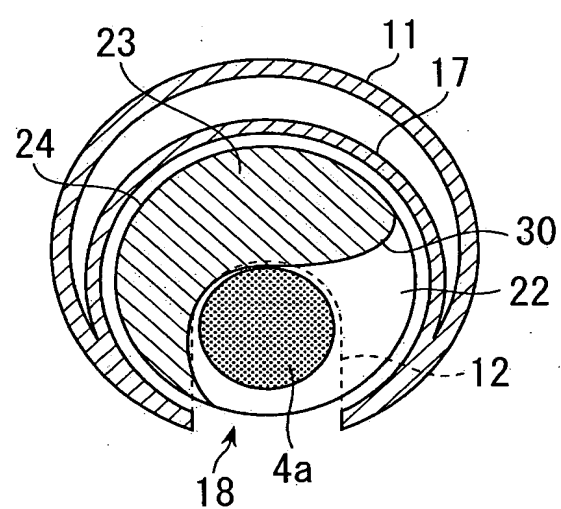


FIG. 4C

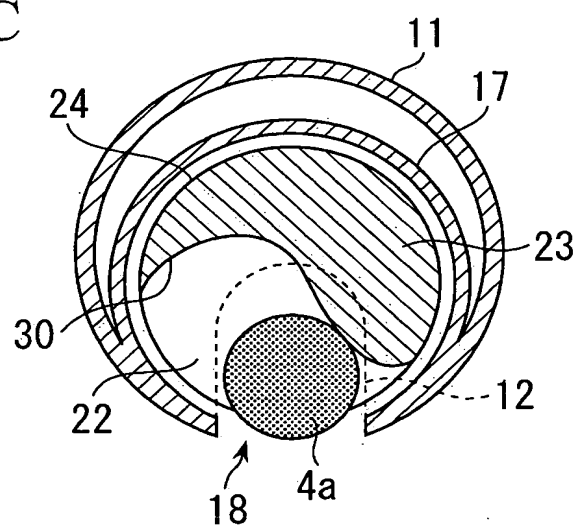


FIG. 5A

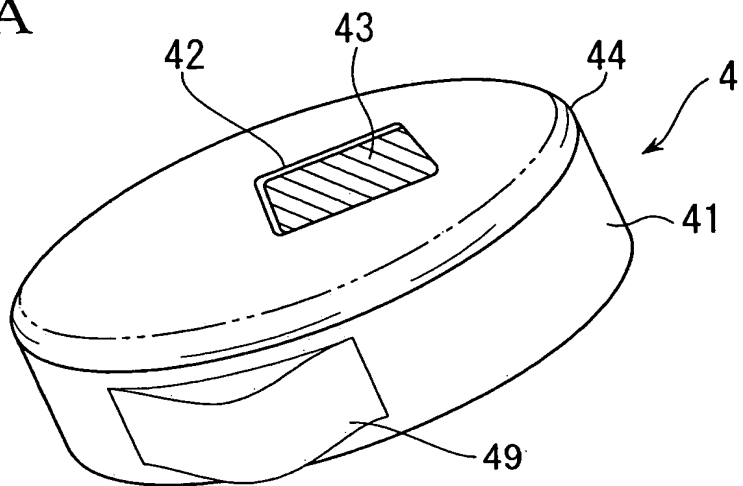


FIG. 5B

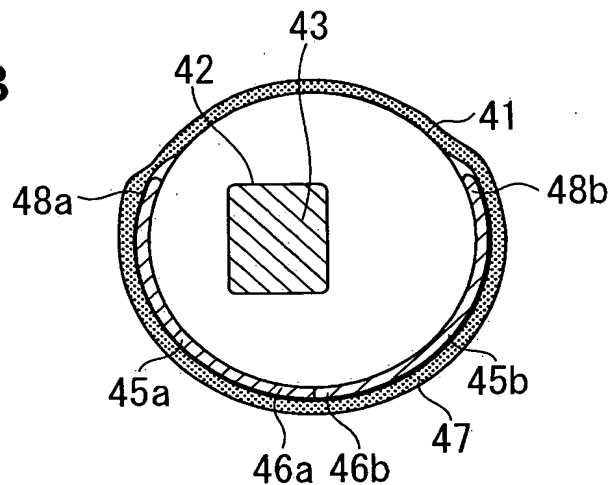


FIG. 5C

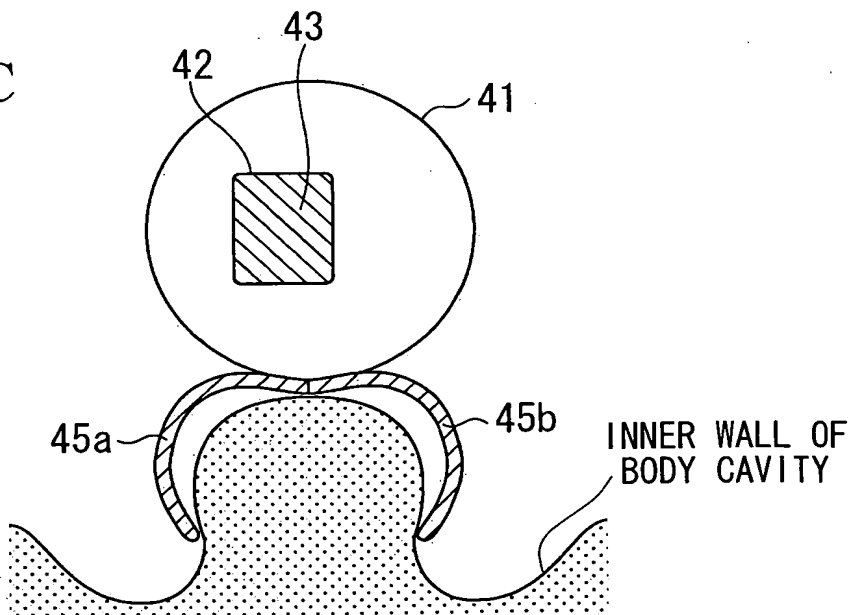


FIG. 6A

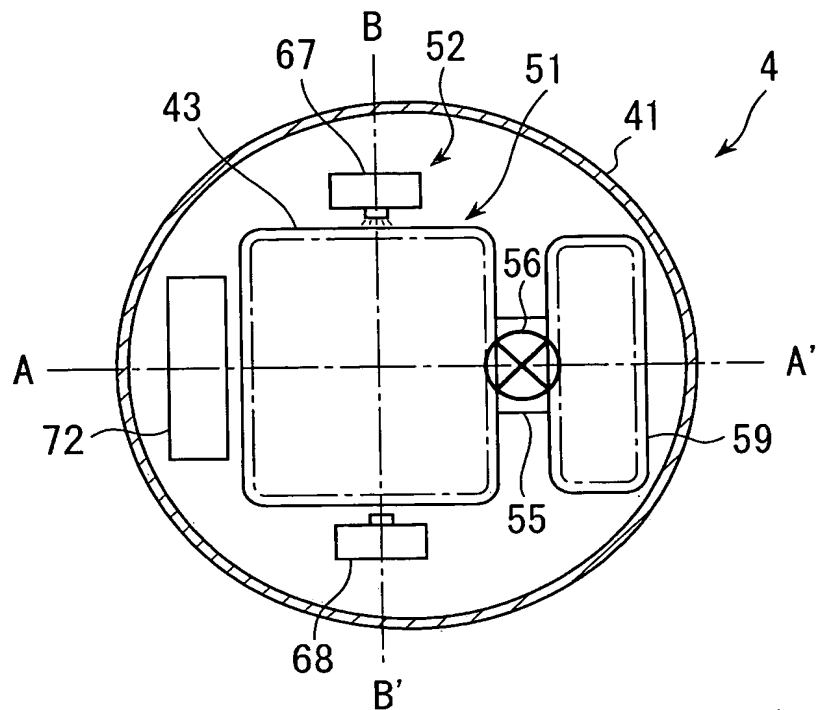


FIG. 6B

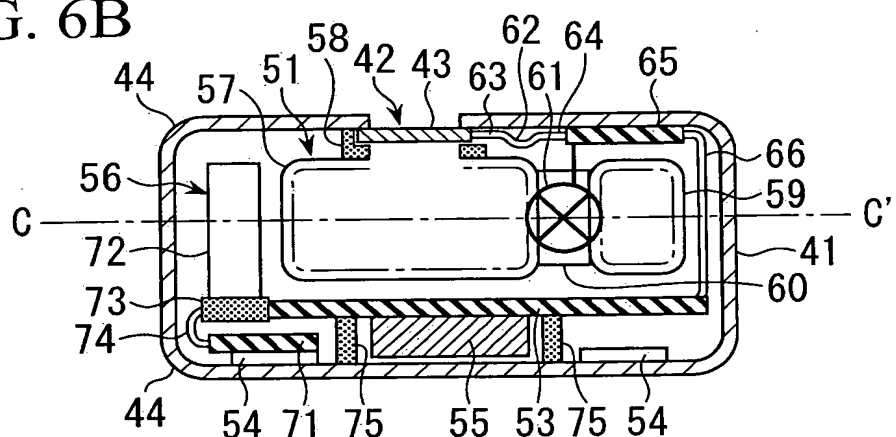


FIG. 6C

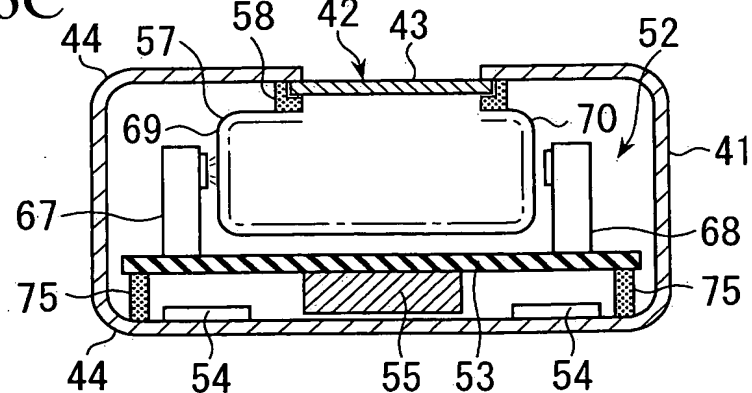


FIG. 7

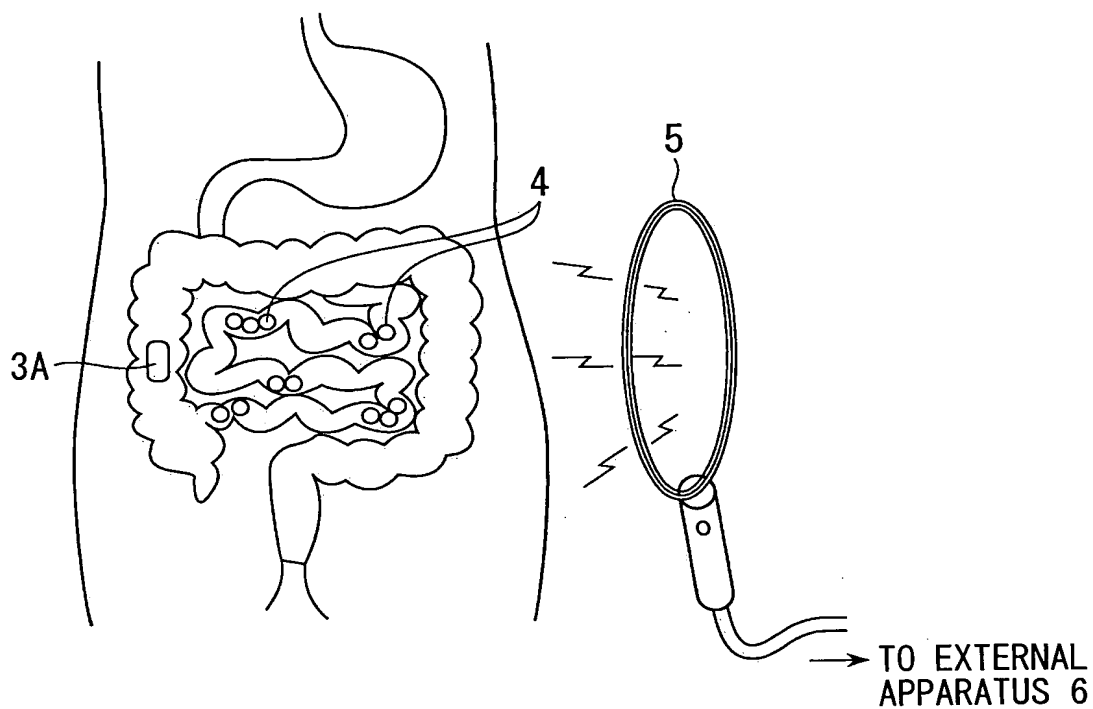


FIG. 8A

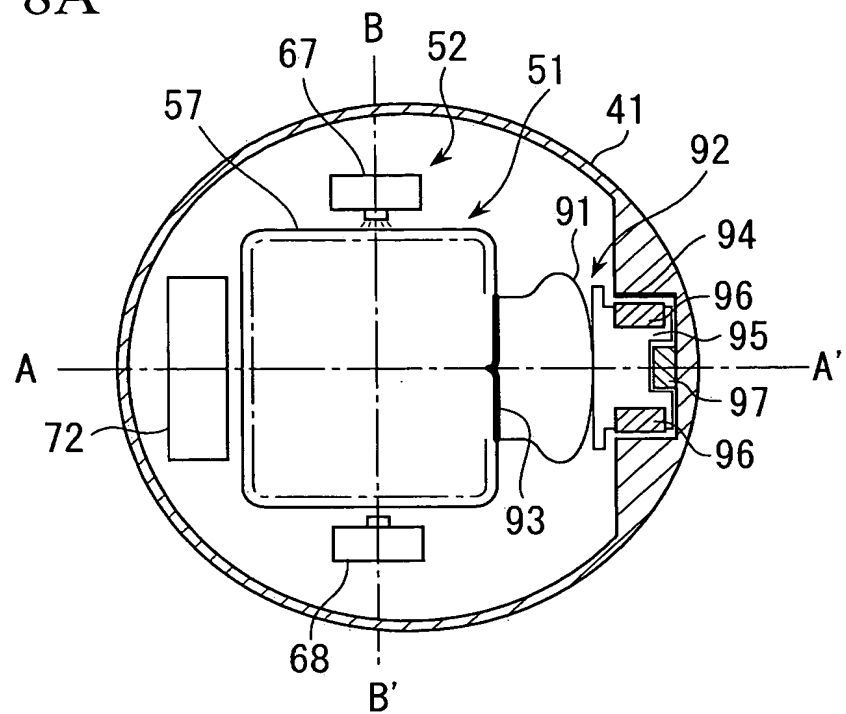


FIG. 8B

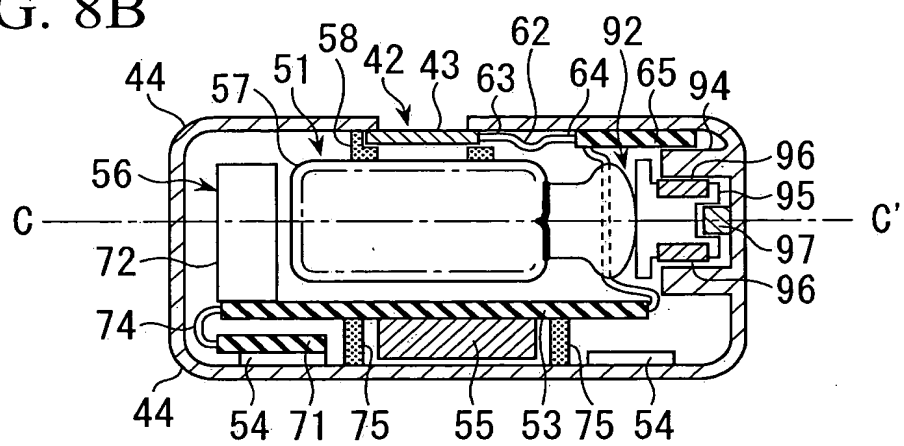


FIG. 8C

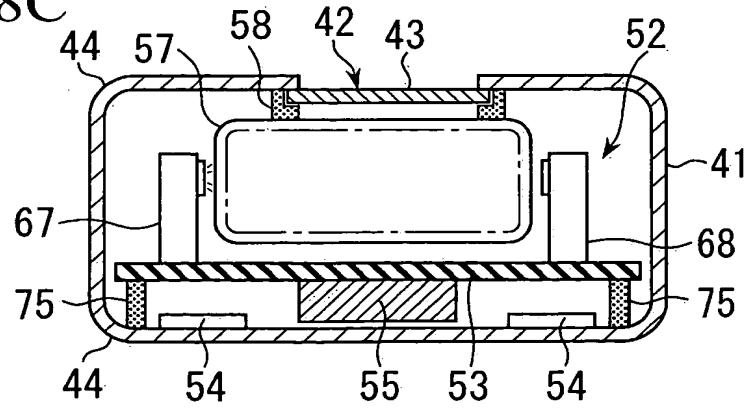


FIG. 9A

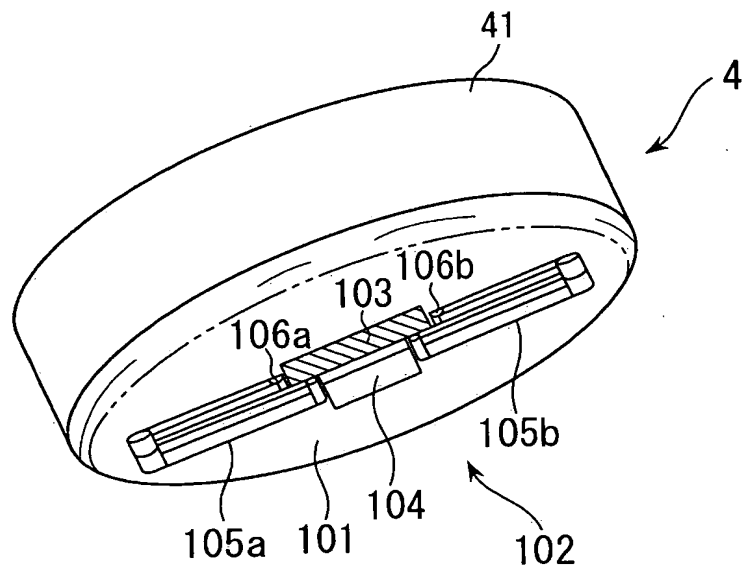


FIG. 9B

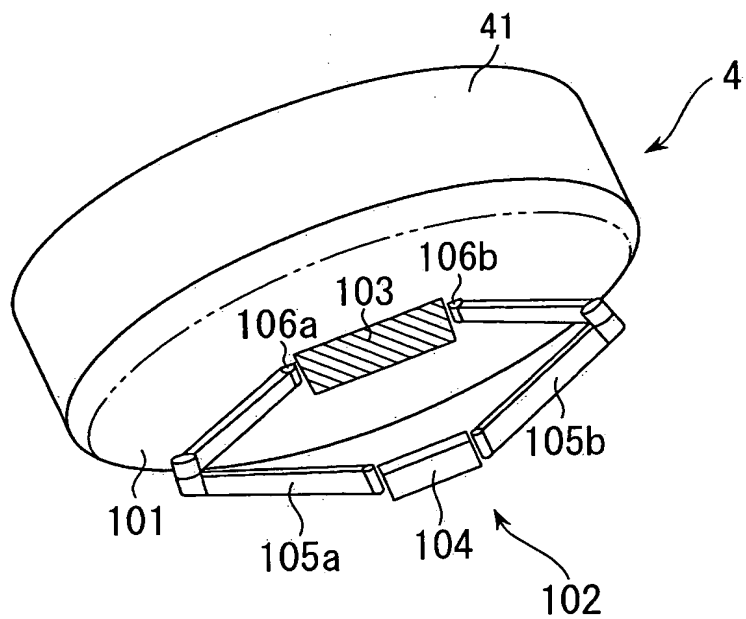


FIG. 10

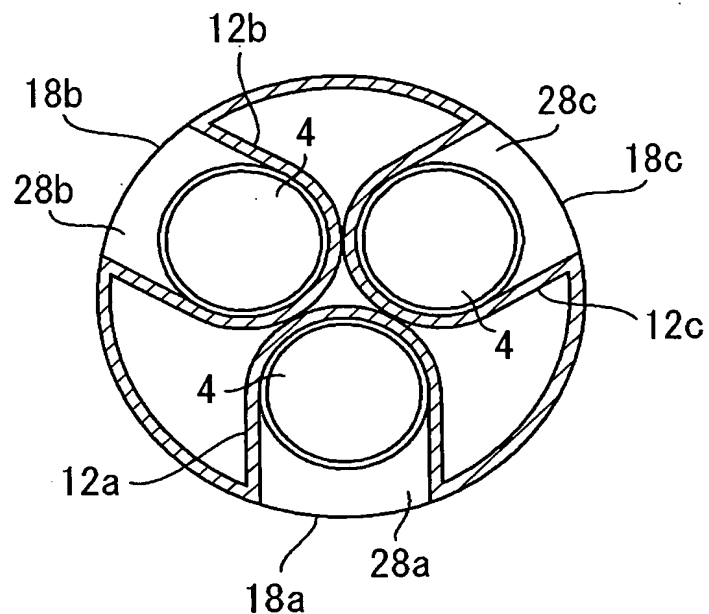


FIG. 11A

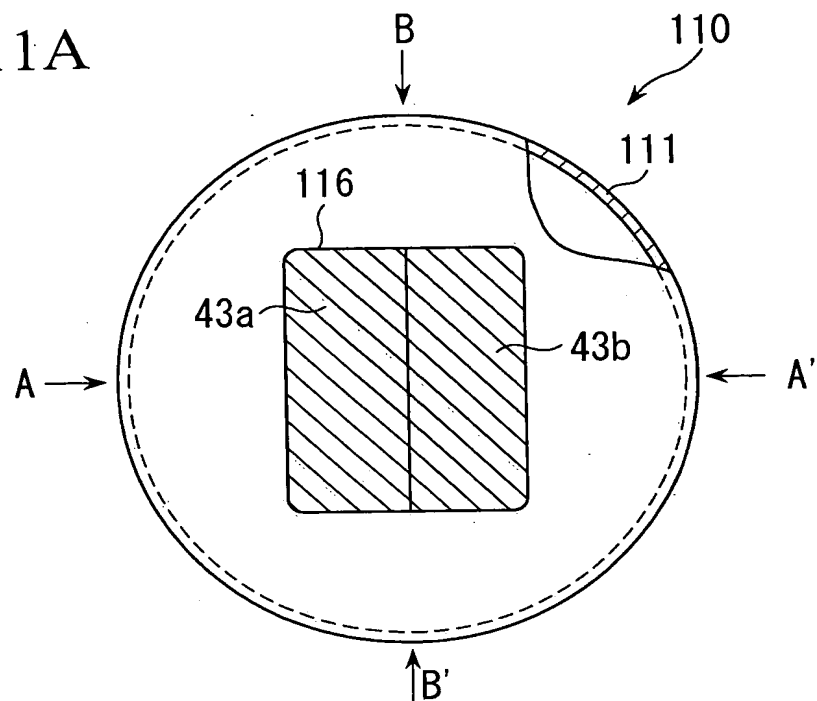


FIG. 11B

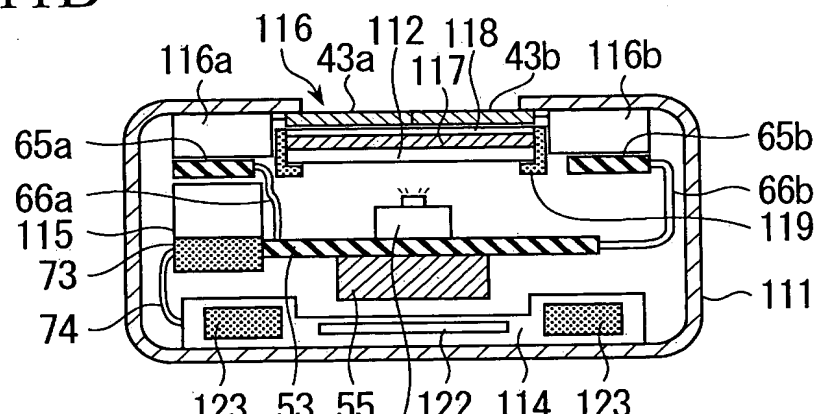


FIG. 11C

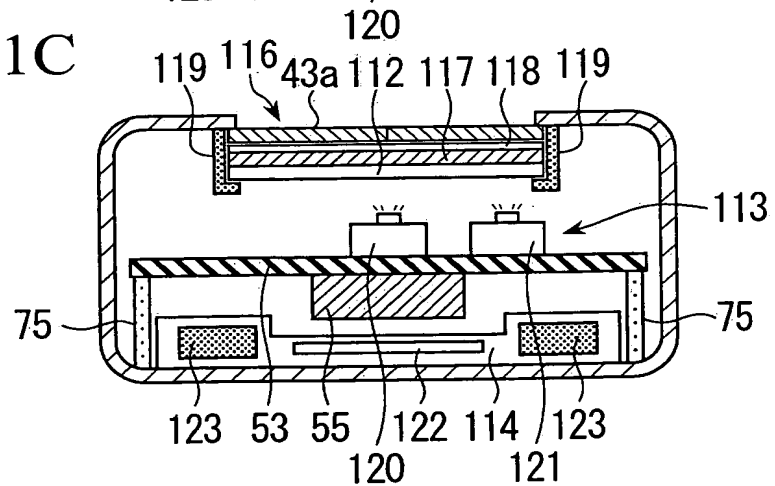


FIG. 12A

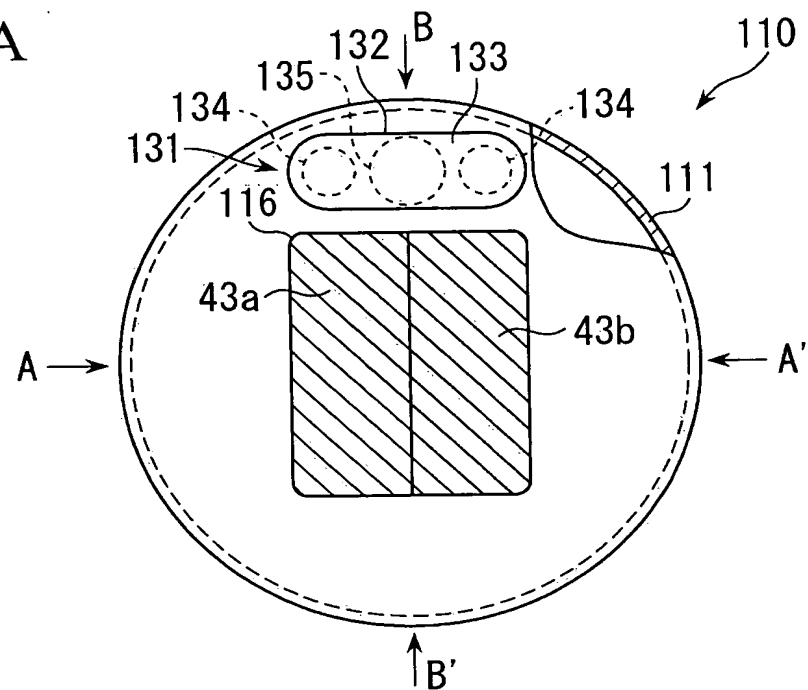


FIG. 12B

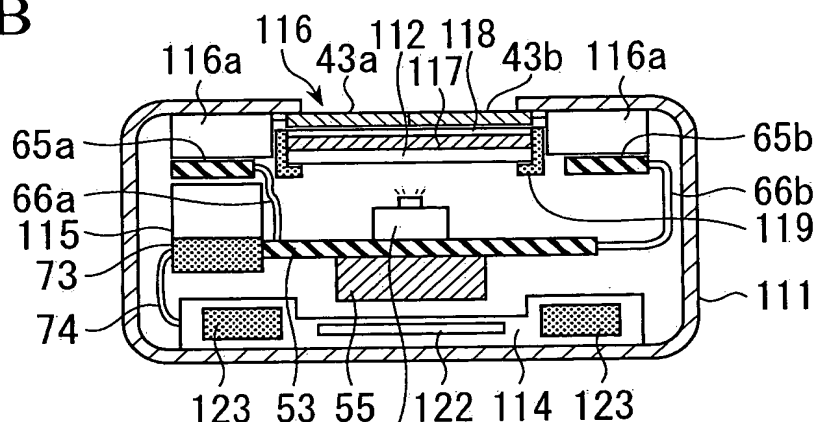


FIG. 12C

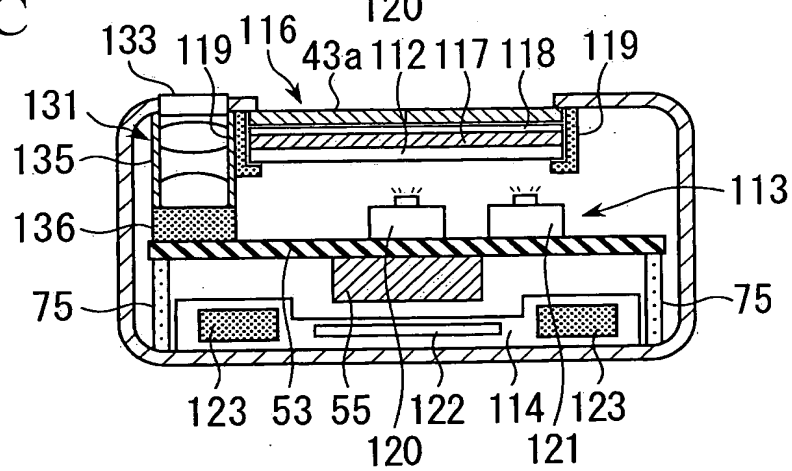




FIG. 13

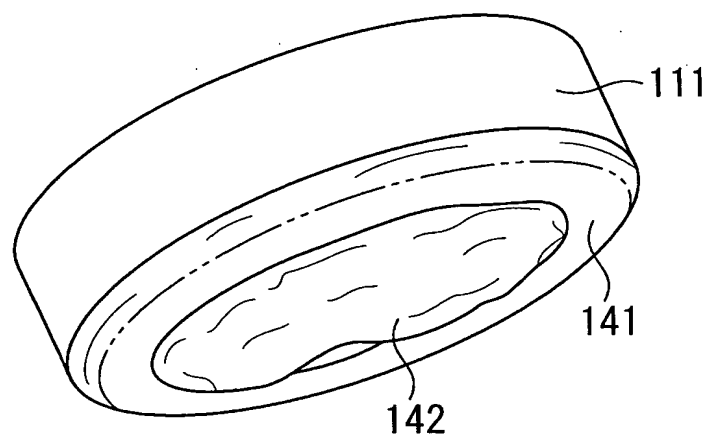


FIG. 14

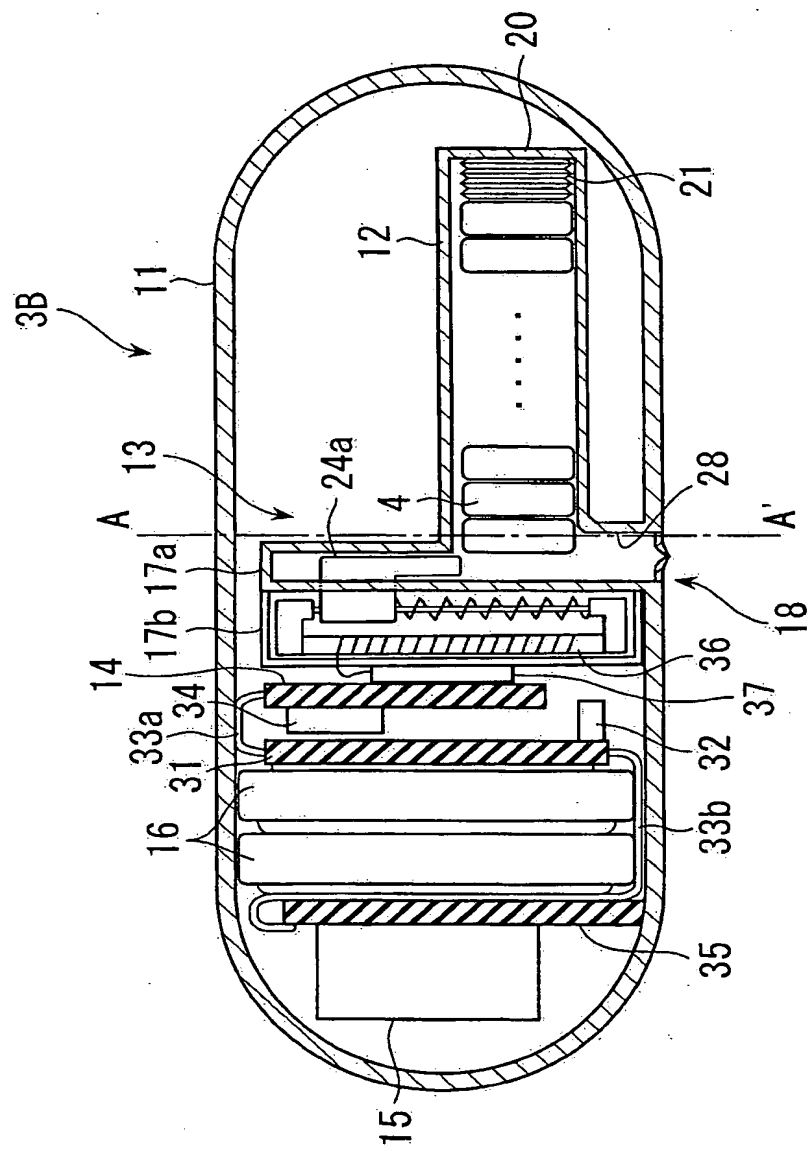




FIG. 15

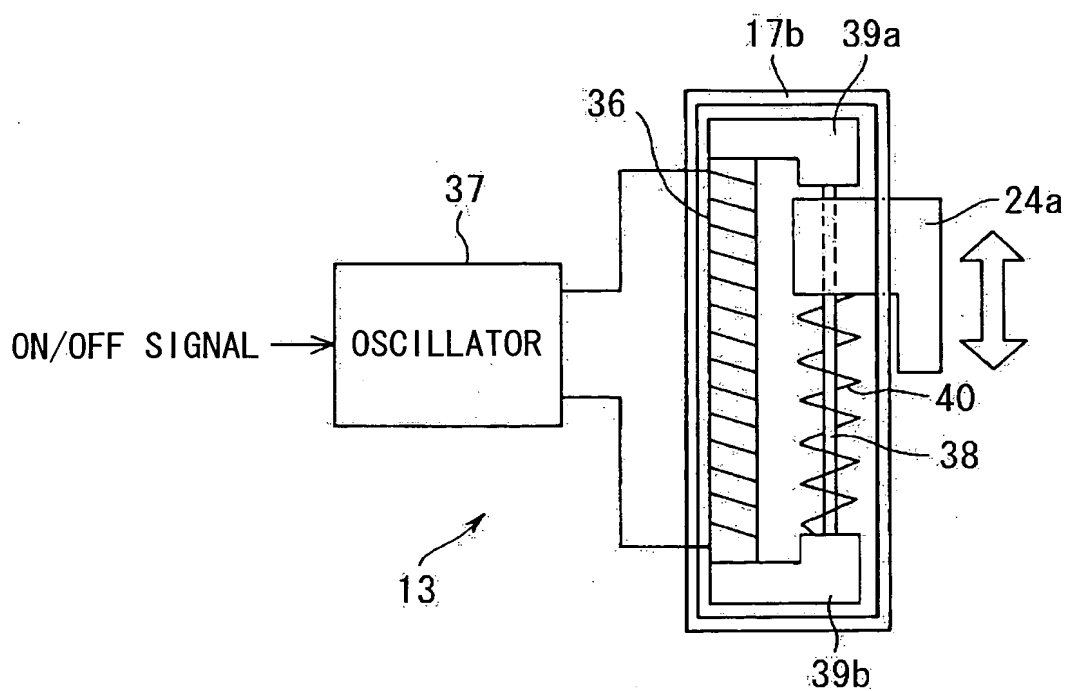


FIG. 16

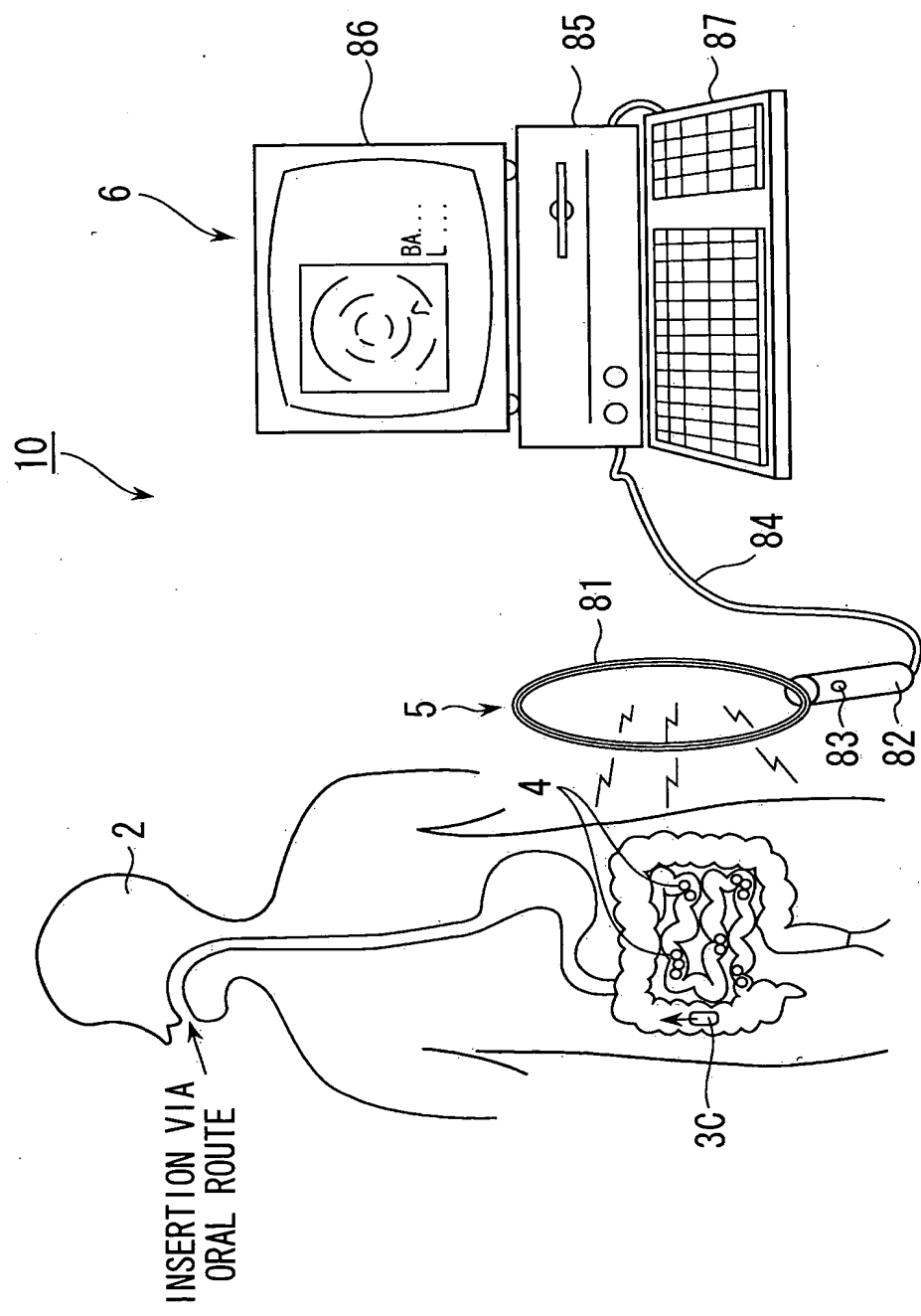


FIG. 17

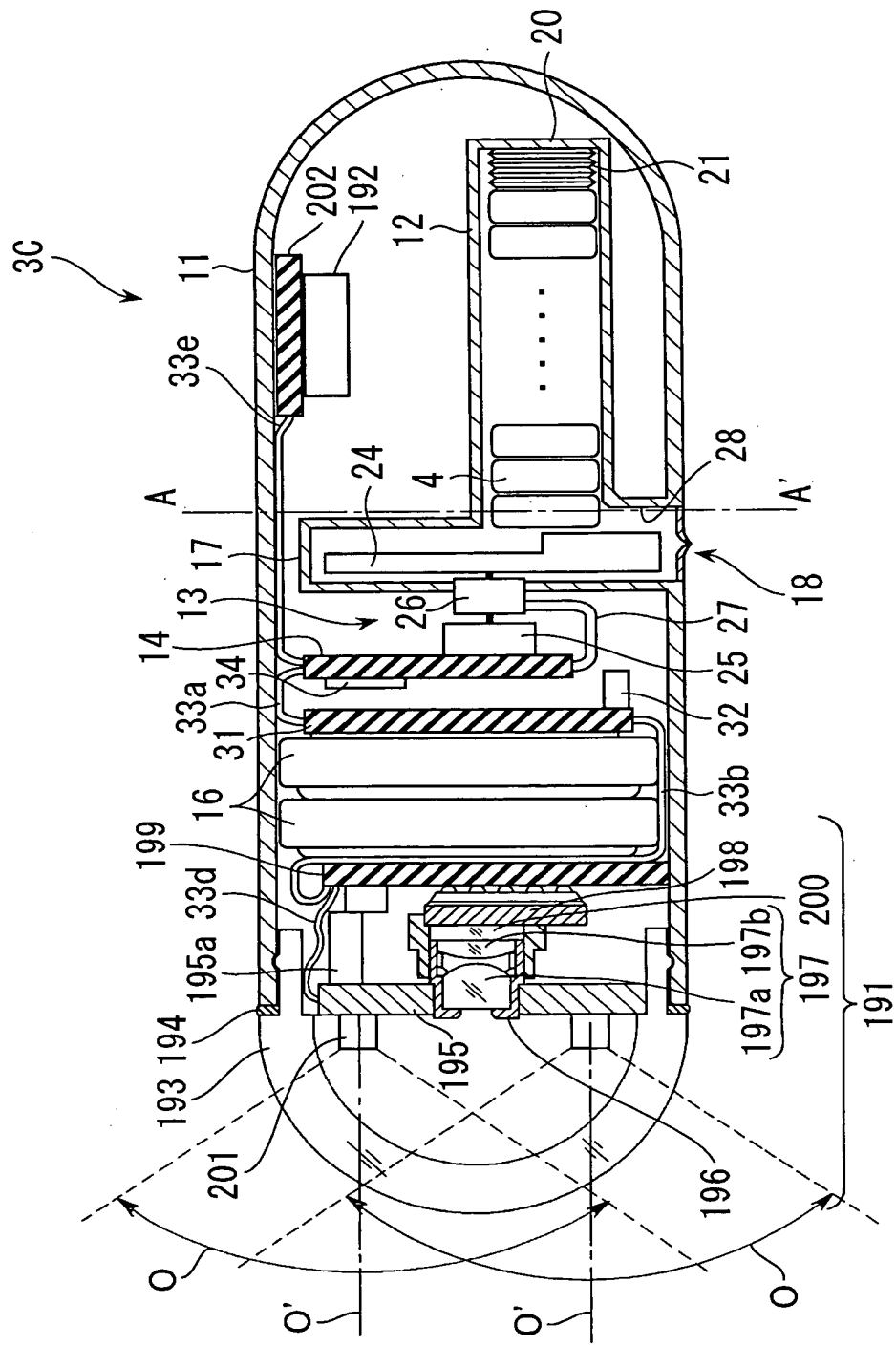
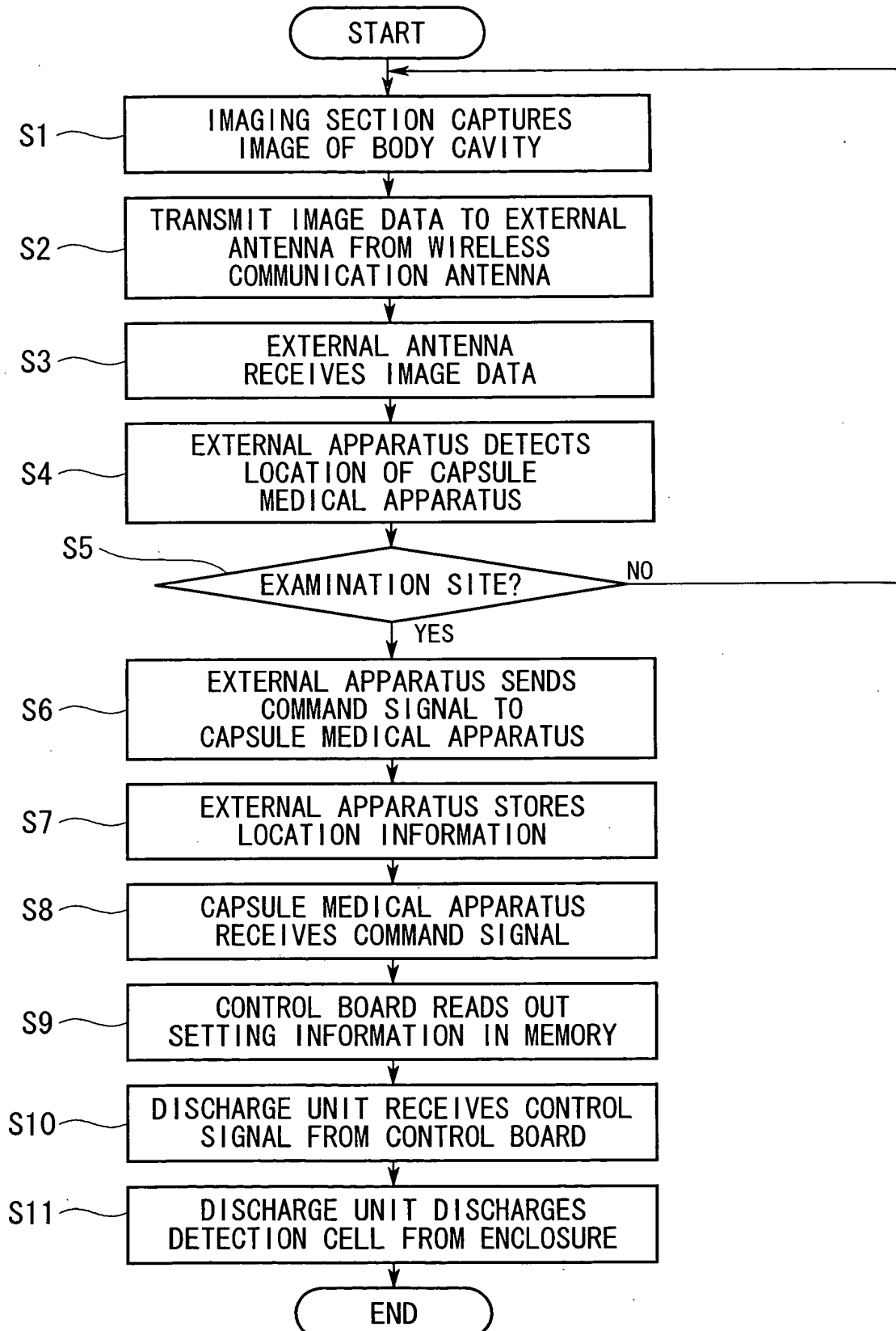


FIG. 18



IN-VIVO INFORMATION ACQUISITION APPARATUS AND IN-VIVO
INFORMATION ACQUISITION APPARATUS SYSTEM

Akio Uchiyama, et al.
19476
19/20

FIG. 19

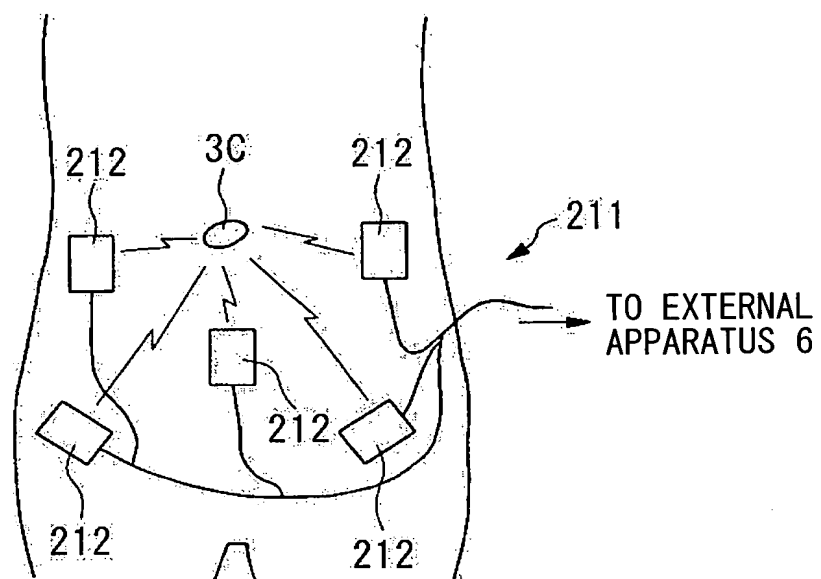


FIG. 20

